

УДК 539.3

ПЕРИОДИЧЕСКИЕ КОНТАКТНЫЕ ЗАДАЧИ ДЛЯ ТРАНСВЕРСАЛЬНО-ИЗОТРОПНОГО СЛОЯ

Д. А. Пожарский, Н. Б. Золотов

Донской государственный технический университет, 344000 Ростов-на-Дону, Россия

E-mails: pozharda@rambler.ru, zolotov.nikita.borisovich@gmail.com

Изучаются пространственные периодические контактные задачи о бесконечных прямолинейных цепочках штампов, действующих на грань трансверсально-изотропного упругого слоя, другая грань которого находится в условиях скользящей заделки. Плоскости изотропии параллельны или перпендикулярны граням слоя. Для решения контактных задач применяется метод нелинейных граничных интегральных уравнений, позволяющий одновременно определить область контакта и контактные давления. Выполнены расчеты для известных трансверсально-изотропных материалов.

Ключевые слова: периодический контакт, трансверсальная изотропия, слой.

DOI: 10.15372/PMTF20220620

Введение. Актуальность контактных задач и задач механики анизотропных материалов обусловлена тем, что в инженерных приложениях часто встречаются периодические профили, возникающие после машинной обработки поверхности [1–3]. При этом волнистость вдоль средней линии может приводить к появлению линейно-периодической цепочки пятен контакта. Ранее для трансверсально-изотропных тел исследовались контактные задачи о действии штампа на слой (плоскости изотропии параллельны его граням) [4], а также на полупространство (плоскости изотропии перпендикулярны его границе) [5, 6]. Изучалась задача о периодической системе круговых штампов на изотропном слое [7]. Для решения периодических контактных задач для круговых инденторов разработан метод локализации [8, 9]. Метод нелинейных граничных интегральных уравнений применялся при исследовании прямолинейной цепочки штампов на неоднородном по толщине слоя [10]. Рассматривались двоякопериодические контактные задачи [11, 12]. Численно исследовалось упругое взаимодействие двумерной волнистой поверхности и полупространства, сдавливаемых до полного контакта [13]. В области периодического контакта учитывалось влияние сложных явлений (трение, адгезия, износ) [14, 15], которые возникают на разных масштабных уровнях [16]. В большинстве работ, посвященных исследованию периодического контакта, рассматривались плоские задачи [17]. Целью настоящей работы является получение и решение новых интегральных уравнений периодических контактных задач для трансверсально-изотропного слоя при различной ориентации плоскостей изотропии. В случае, когда плоскости изотропии параллельны граням слоя, ядро интегрального уравнения можно представить в двух эквивалентных формах, методика получения одной из которых предложена ранее [11]. В случае, когда плоскости изотропии перпендикулярны граням

Работа выполнена при финансовой поддержке Российского научного фонда (код проекта 22-21-00013).

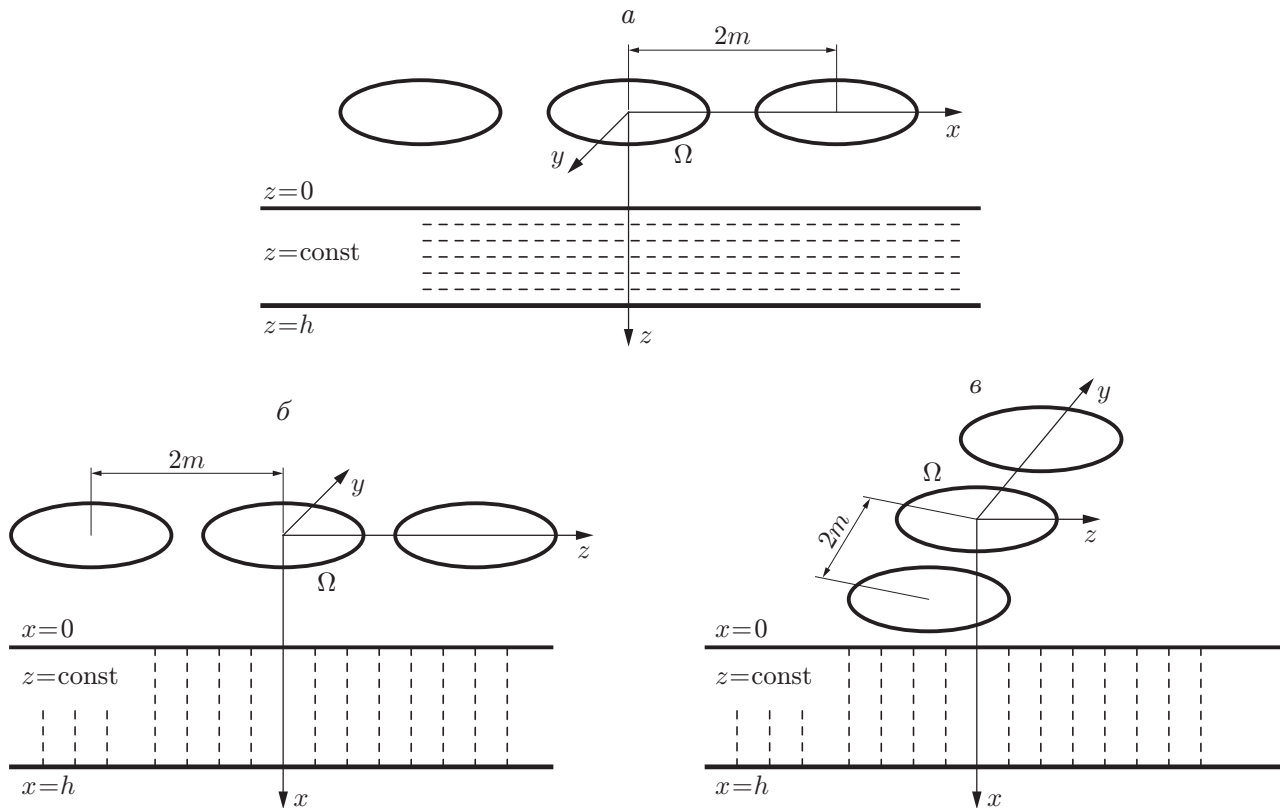


Рис. 1. Схемы контакта штампов со слоем в задаче 1 (а), задаче 2 (б), задаче 3 (в)

слоя, а функции-символы ядер интегральных уравнений становятся несимметричными, рассматривается два варианта ориентации цепочек штампов.

Постановка задач. Ниже исследуются три задачи. Рассмотрим трансверсально-изотропный упругий слой $\{|x| < \infty, |y| < \infty, 0 \leq z \leq h\}$, на верхней грани которого находится периодическая система одинаковых жестких штампов, распределенных вдоль оси x с периодом $2m$. Начало координат находится в области контакта Ω под штампом с формой основания $f(x, y)$. Плоскости изотропии $z = \text{const}$ параллельны граням слоя (задача 1, рис. 1,а). Нижняя грань слоя лежит без трения на недеформируемом основании (скользящая заделка). К штампам приложены силы P , осадка штампов равна δ , перекося отсутствует. Рассмотрим две аналогичные задачи для слоя $\{0 \leq x \leq h, |y| < \infty, |z| < \infty\}$, которые отличаются от задачи 1 направлением осей координат и тем, что плоскости изотропии $z = \text{const}$ перпендикулярны граням слоя (рис. 1,б,в). В задаче 2 ось периодической цепочки штампов совпадает с осью z , а в задаче 3 — с осью y . Для всех трех задач закон Гука приведен в работе [5]. В задаче 1 граничные условия имеют вид

$$\begin{aligned} z = 0: \quad u_z = \delta - f^*(x, y), \quad (x, y) \in \Omega^*, \quad \sigma_z = 0, \quad (x, y) \notin \Omega^*, \quad \tau_{xz} = \tau_{yz} = 0, \quad (1) \\ z = h: \quad u_z = \tau_{xz} = \tau_{yz} = 0, \end{aligned}$$

а в задачах 2, 3 —

$$\begin{aligned} x = 0: \quad u_x = \delta - f^*(y, z), \quad (y, z) \in \Omega^*, \quad \sigma_x = 0, \quad (y, z) \notin \Omega^*, \quad \tau_{xz} = \tau_{xy} = 0, \quad (2) \\ x = h: \quad u_x = \tau_{xz} = \tau_{xy} = 0 \end{aligned}$$

(Ω^* — объединенная область контакта, в которой формы штампов описываются функцией f^*).

При заданных параметрах упругости A_{mn} [5], известных величинах h , m , δ и функции $f(x, y)$ (задача 1) или $f(y, z)$ (задачи 2, 3) требуется определить область контакта Ω и контактное давление $\sigma_z(x, y, 0) = -q(x, y)$ ($(x, y) \in \Omega$ для задачи 1) или $\sigma_x(0, y, z) = -q(y, z)$ ($(y, z) \in \Omega$ для задач 2, 3). Затем с использованием интегрального условия равновесия штампов может быть найдена сила P .

Интегральные уравнения. Для сведения задач с граничными условиями (1), (2) к интегральным уравнениям (ИУ) следует рассмотреть вспомогательные задачи типа задачи Буссинеска о действии заданной сосредоточенной силы на грани слоя при различных ориентациях плоскостей изотропии. Решения таких задач находятся с помощью двойных преобразований Фурье. В результате для задачи 1 с учетом периодичности расположения штампов получаем ИУ ($(x, y) \in \Omega$)

$$\iint_{\Omega} q(x_0, y_0) K(x - x_0, y - y_0) dx_0 dy_0 = 2\pi\theta h[\delta - f(x, y)], \quad (3)$$

где

$$K(x, y) = \frac{1}{2\pi} \sum_{k=-\infty}^{\infty} \int_{-\infty}^{\infty} \int_{-\infty}^{\infty} \frac{L(r)}{r} \cos\left(\xi \frac{x + 2km}{h}\right) \cos\left(\eta \frac{y}{h}\right) d\xi d\eta; \quad (4)$$

$$L(r) = \frac{\gamma_1 - \gamma_2}{\gamma_1 \operatorname{cth}(r/\gamma_1) - \gamma_2 \operatorname{cth}(r/\gamma_2)}, \quad \theta = \frac{A_{11}A_{33} - A_{13}^2}{A_{11}(\gamma_1 + \gamma_2)}, \quad r = \sqrt{\xi^2 + \eta^2}.$$

Для задач 2 ($n = 1$) и 3 ($n = 2$) аналогичное уравнение имеет вид ($(y, z) \in \Omega$)

$$\iint_{\Omega} q(y_0, z_0) K_n(y - y_0, z - z_0) dy_0 dz_0 = 2\pi A_{66} h[\delta - f(y, z)], \quad (5)$$

где

$$K_1(y, z) = \frac{1}{2\pi} \sum_{k=-\infty}^{\infty} \int_{-\infty}^{\infty} \int_{-\infty}^{\infty} M(\xi, \eta) \cos\left(\xi \frac{z + 2km}{h}\right) \cos\left(\eta \frac{y}{h}\right) d\xi d\eta; \quad (6)$$

$$K_2(y, z) = \frac{1}{2\pi} \sum_{k=-\infty}^{\infty} \int_{-\infty}^{\infty} \int_{-\infty}^{\infty} M(\xi, \eta) \cos\left(\xi \frac{z}{h}\right) \cos\left(\eta \frac{y + 2km}{h}\right) d\xi d\eta; \quad (7)$$

$$M(\xi, \eta) = \frac{(m_2 - m_1)\gamma_3^2 \xi^2 \zeta_1 \zeta_2}{D},$$

$$D = m_2 h_1^2 \zeta_2 \operatorname{cth} \zeta_1 - m_1 h_2^2 \zeta_1 \operatorname{cth} \zeta_2 + 4(m_1 - m_2) \eta^2 \zeta_1 \zeta_2 \zeta_3 \operatorname{cth} \zeta_3,$$

$$m_l = \frac{A_{11}\gamma_l^2 - A_{44}}{A_{13} + A_{44}}, \quad h_l = (m_l + 1)\gamma_3^2 \xi^2 + 2\eta^2 \quad (l = 1, 2), \quad \zeta_l = \sqrt{\gamma_l^2 \xi^2 + \eta^2} \quad (l = 1, 2, 3),$$

γ_l ($l = 1, 2$) — корни характеристического уравнения [2, 5]

$$\gamma^4 A_{11} A_{44} - \gamma^2 [A_{11} A_{33} - A_{13}(A_{13} + 2A_{44})] + A_{33} A_{44} = 0, \quad \gamma_3 = \sqrt{A_{44}/A_{66}}.$$

В силу положительной определенности матрицы упругих постоянных $\theta > 0$ [2]. В случае изотропного материала в формулах (3), (4) с учетом пределов

$$\lim_{\gamma_1 \rightarrow \gamma_2 \rightarrow 1} L(r) = L_1(r) = \frac{\operatorname{ch} 2r - 1}{\operatorname{sh} 2r + 2r}, \quad \lim_{\gamma_1 \rightarrow \gamma_2 \rightarrow 1} \theta = \frac{G}{1 - \nu}$$

(G — модуль сдвига; ν — коэффициент Пуассона) получаем известное ядро ИУ контактной задачи для изотропного слоя [18]. Возможен аналогичный предельный переход в задаче (5)–(7).

При $h \rightarrow \infty$ после соответствующих замен переменных интегрирования функции-символы ядер уравнений (4), (6), (7) переходят в известные для трансформного полупространства (функция-символ $L(r)$ стремится к единице, в функции-символе $M(\xi, \eta)$ исчезают котангенсы) [4–6]. При этом меняются значения функций-символов в начале координат и ряды в ядрах расходятся. Таким образом, корректность поставленных периодических задач обеспечена заделкой нижней грани слоя.

Для функции-символа в задаче 1 имеет место асимптотика

$$L(r) - 1 = O(e^{-2/\gamma_1}) \quad (r \rightarrow \infty, \quad \gamma_1 > \gamma_2). \quad (8)$$

В отличие от задачи 1 в задачах 2, 3 функции-символы несимметричны: $M(\xi, \eta) \neq M(\eta, \xi)$, но обладают важным асимптотическим свойством: их поведение на бесконечности по одному из аргументов зависит от поведения в нуле по другому аргументу. Если один из аргументов фиксирован, то

$$\begin{aligned} M(\xi, \eta) &\rightarrow \frac{B_1}{\eta} L_1(\eta) \quad (\xi \rightarrow 0), & M(\xi, \eta)\xi &\rightarrow B_2 \quad (\xi \rightarrow \infty), \\ M(\xi, \eta) &\rightarrow \frac{B_2}{\xi} L_2(\xi) \quad (\eta \rightarrow 0), & M(\xi, \eta)\eta &\rightarrow B_1 \quad (\eta \rightarrow \infty), \end{aligned} \quad (9)$$

где

$$\begin{aligned} B_1 &= \frac{\gamma_3^2(m_2 - m_1)}{2(\gamma_3^2(m_2 - m_1) - m_2\gamma_1^2 + m_1\gamma_2^2)}, & B_2 &= \frac{\gamma_1\gamma_2(m_2 - m_1)}{\gamma_3^2(m_1 + m_2 + 2)(\gamma_2 - \gamma_1)}, \\ L_2(\xi) &= \frac{\gamma_1 - \gamma_2}{\gamma_1 \operatorname{cth}(\gamma_2\xi) - \gamma_2 \operatorname{cth}(\gamma_1\xi)}. \end{aligned}$$

Метод решения. Дополним ИУ (3), (5) условием отсутствия контакта вне области Ω и условием положительности контактного давления в Ω . Применяя метод нелинейных граничных ИУ [19], сведем их и граничные условия к эквивалентным нелинейным ИУ по заданному прямоугольнику S со сторонами $2a$ и $2b$ соответственно поперек и вдоль оси цепочки штампов ($b \geq a$), содержащему область Ω . Для численного решения нелинейных ИУ в области S используем модифицированный метод Ньютона, при этом область Ω определяется точками S , в которых решение положительно. В нелинейные уравнения входят ядра (4), (6), (7), которые требуется рассчитать в узлах решетки в S . Представим эти ядра в форме, удобной для расчетов.

Введем безразмерные величины

$$\begin{aligned} x_* &= \frac{x}{b}, \quad y_* = \frac{y}{b}, \quad z_* = \frac{z}{b}, \quad q_*(x_*, y_*) = \frac{q(x, y)}{2\pi\theta}, \quad q_*(y_*, z_*) = \frac{q(y, z)}{2\pi A_{66}}, \quad \varepsilon = \frac{a}{b}, \\ \delta_* &= \frac{\delta}{b}, \quad \lambda = \frac{h}{b}, \quad \mu = \frac{m}{b}, \quad f_*(x_*, y_*) = \frac{f(x, y)}{b}, \quad f_*(y_*, z_*) = \frac{f(y, z)}{b}, \quad \Omega \rightarrow \Omega_* \end{aligned} \quad (10)$$

(индекс “*” далее опускается). Параметр λ характеризует относительную толщину слоя, параметр $\mu \geq 1$ — относительное расстояние между соседними областями контакта. Используя обозначения (10), соотношение [20]

$$\sum_{k=-\infty}^{\infty} \cos\left(\xi \frac{x + 2k\mu}{\lambda}\right) = 2\pi \cos\left(\xi \frac{x}{\lambda}\right) \sum_{k=-\infty}^{\infty} \delta\left(\frac{2\xi\mu}{\lambda} - 2\pi k\right), \quad (11)$$

свойства δ -функции Дирака $\delta(x)$ и замену $\xi = t\pi_k\lambda$ ($\pi_k = \pi k/\mu$), запишем ядро (4) для задачи 1 в виде

$$K(x, y) = \frac{1}{\mu} \int_0^{\infty} \frac{L(t)}{t} \cos\left(t \frac{y}{\lambda}\right) dt + \frac{2}{\mu} \sum_{k=1}^{\infty} \cos(\pi_k x) \int_0^{\infty} \frac{L(\pi_k \lambda \sqrt{1+t^2})}{\sqrt{1+t^2}} \cos(\pi_k y t) dt. \quad (12)$$

Первое слагаемое в правой части формулы (12) совпадает с ядром ИУ соответствующей плоской контактной задачи для слоя. Его главная логарифмическая часть сокращается в силу формул [21, 22]

$$\int_0^{\infty} \frac{\cos(ty) - e^{-t}}{t} dt = -\ln|y|, \quad \int_0^{\infty} \frac{\cos(ty)}{\sqrt{1+t^2}} dt = K_0(y),$$

$$\sum_{k=1}^{\infty} K_0(ky) \cos(kx) = \frac{\pi}{2\sqrt{x^2+y^2}} + \frac{1}{2} \left(C + \ln \frac{y}{4\pi} \right) + \quad (13)$$

$$+ \frac{\pi}{2} \sum_{k=1}^{\infty} \left(\frac{1}{\sqrt{(2\pi k - x)^2 + y^2}} + \frac{1}{\sqrt{(2\pi k + x)^2 + y^2}} - \frac{1}{\pi k} \right),$$

где $K_0(y)$ — функция Бесселя; C — постоянная Эйлера. С использованием равенств (13) улучшим сходимость интегралов и рядов в ядре (12), выделяя главную часть с учетом асимптотики (8):

$$K(x, y) = \frac{1}{\mu} \int_0^{\infty} \left[(L(t) - 1) \cos\left(t \frac{y}{\lambda}\right) + e^{-t} \right] \frac{dt}{t} + \frac{1}{\mu} \left(C + \ln \frac{\lambda}{4\mu} \right) +$$

$$+ \frac{2}{\mu} \sum_{k=1}^{\infty} \cos(\pi_k x) \int_0^{\infty} \frac{L(\pi_k \lambda \sqrt{1+t^2}) - 1}{\sqrt{1+t^2}} \cos(\pi_k y t) dt +$$

$$+ \frac{1}{\sqrt{x^2+y^2}} + \sum_{k=1}^{\infty} \left(\frac{1}{\sqrt{(2\mu k - x)^2 + y^2}} + \frac{1}{\sqrt{(2\mu k + x)^2 + y^2}} - \frac{1}{\mu k} \right). \quad (14)$$

Ядро $K(x, y)$ в задаче 1 можно представить в эквивалентной форме, введя функцию [11]

$$M(t) = L(t) - 1 + e^{-2/\gamma_1}, \quad \gamma_1 > \gamma_2.$$

Для задачи 2 преобразуем ядро (6) на основе соотношений (10), (11), (13) и асимптотик (9) к форме

$$K_1(y, z) = \frac{B_1}{\mu} \int_0^{\infty} \left[(L_1(t) - 1) \cos\left(t \frac{y}{\lambda}\right) + e^{-t} \right] \frac{dt}{t} + \frac{B_1}{\mu} \left(C + \ln \frac{\lambda}{4\mu} \right) +$$

$$+ \frac{2}{\mu} \sum_{k=1}^{\infty} \cos(\pi_k z) \int_0^{\infty} \left(M_1(t) - \frac{B_1}{\sqrt{1+t^2}} \right) \cos(\pi_k y t) dt + \frac{B_1}{\sqrt{y^2+z^2}} +$$

$$+ B_1 \sum_{k=1}^{\infty} \left(\frac{1}{\sqrt{(2\mu k - z)^2 + y^2}} + \frac{1}{\sqrt{(2\mu k + z)^2 + y^2}} - \frac{1}{\mu k} \right), \quad (15)$$

$$M_1(t) = (m_2 - m_1)\gamma_3^2\zeta_{11}\zeta_{21}/D_1,$$

$$D_1 = m_2h_{11}^2\zeta_{21} \operatorname{cth}(\pi_k\lambda\zeta_{11}) - m_1h_{21}^2\zeta_{11} \operatorname{cth}(\pi_k\lambda\zeta_{21}) + 4(m_1 - m_2)t^2\zeta_{11}\zeta_{21}\zeta_{31} \operatorname{cth}(\pi_k\lambda\zeta_{31}),$$

$$h_{l1} = (m_l + 1)\gamma_3^2 + 2t^2 \quad (l = 1, 2), \quad \zeta_{l1} = \sqrt{\gamma_l^2 + t^2} \quad (l = 1, 2, 3).$$

Для задачи 3 аналогично получаем

$$K_2(y, z) = \frac{B_2}{\mu} \int_0^\infty \left[(L_2(t) - 1) \cos\left(t \frac{z}{\lambda}\right) + e^{-t} \right] \frac{dt}{t} + \frac{B_2}{\mu} \left(C + \ln \frac{\lambda}{4\mu} \right) +$$

$$+ \frac{2}{\mu} \sum_{k=1}^\infty \cos(\pi_k y) \int_0^\infty \left(M_2(t) - \frac{B_2}{\sqrt{1+t^2}} \right) \cos(\pi_k z t) dt + \frac{B_2}{\sqrt{y^2 + z^2}} +$$

$$+ B_2 \sum_{k=1}^\infty \left(\frac{1}{\sqrt{(2\mu k - y)^2 + z^2}} + \frac{1}{\sqrt{(2\mu k + y)^2 + z^2}} - \frac{1}{\mu k} \right), \quad (16)$$

$$M_2(t) = (m_2 - m_1)\gamma_3^2 t^2 \zeta_{12} \zeta_{22} / D_2,$$

$$D_2 = m_2h_{12}^2\zeta_{22} \operatorname{cth}(\pi_k\lambda\zeta_{12}) - m_1h_{22}^2\zeta_{12} \operatorname{cth}(\pi_k\lambda\zeta_{22}) + 4(m_1 - m_2)\zeta_{12}\zeta_{22}\zeta_{32} \operatorname{cth}(\pi_k\lambda\zeta_{32}),$$

$$h_{l2} = (m_l + 1)\gamma_3^2 t^2 + 2 \quad (l = 1, 2), \quad \zeta_{l2} = \sqrt{\gamma_l^2 t^2 + 1} \quad (l = 1, 2, 3).$$

При $\mu \rightarrow \infty$ ядра (14)–(16) переходят в ядра соответствующих контактных задач для одного штампа. Ядра (15), (16) содержат ядра соответствующих плоских контактных задач. При этом характерные для плоских задач логарифмические особенности сокращаются в силу (9). Ряд-интеграл в формуле (14) сходится при любых x, y , требуется регуляризация только особого члена $(x^2 + y^2)^{-1/2}$ при $x = y = 0$. В отличие от задачи 1 в задачах 2, 3 в рядах-интегралах требуется дополнительная регуляризация при $y = 0$ (в формуле (15)) и $z = 0$ (в формуле (16)), поскольку подынтегральные функции убывают по закону t^{-2} ($t \rightarrow \infty$). При $y \neq 0$ (в формуле (15)) и $z \neq 0$ (в формуле (16)) ряды-интегралы сходятся быстро, так как при $k \rightarrow \infty$ интегралы убывают по экспоненциальному закону. Для вычисления этих интегралов рекомендуется разбивать промежуток интегрирования по нулям подынтегрального косинуса и рассчитывать эти интегралы отдельно на каждом интервале.

Численный анализ. Для расчетов выбраны следующие трансверсально-изотропные материалы (параметры упругости A_{ij} приведены в [1. С. 22–23]): древесина, в частности ель Дугласа ($\gamma_1^2 = 13,79, \gamma_2^2 = 0,1227, \gamma_3^2 = 0,7101, m_1 = 76,22, m_2 = 1/m_1$), и гнейс влажный ($\gamma_1^2 = 2,627, \gamma_2^2 = 0,2999, \gamma_3^2 = 0,5660, m_1 = 4,085, m_2 = 1/m_1$). В качестве штампов используются эллиптические параболоиды $f(x, y) = Ax^2 + By^2$ (задача 1) и $f(y, z) = Ay^2 + Bz^2$ (задачи 2, 3). На рис. 2, 3 показаны зависимости безразмерной интегральной характеристики контактных давлений $P_0 = P/\theta$ от осадки δ и относительной толщины слоя λ ($\varepsilon = 1$) соответственно. Видно, что величина P_0 существенно зависит как от материала слоя, так и от положения плоскостей изотропии. Для гнейса влажного (задачи 2, 3) с ростом δ или λ может меняться направление оси периодической цепочки на грани слоя, вдоль которого требуется меньшая сила P для внедрения штампов. Для трансропного полупространства, в случае когда плоскости изотропии перпендикулярны его границе (задачи 2, 3 при $\lambda \rightarrow \infty$), решение задачи типа задачи Буссинеска (нормальное перемещение точек границы под действием нормальной сосредоточенной силы, приложенной в начале координат) получается в форме, свободной от квадратур [6]. Имея

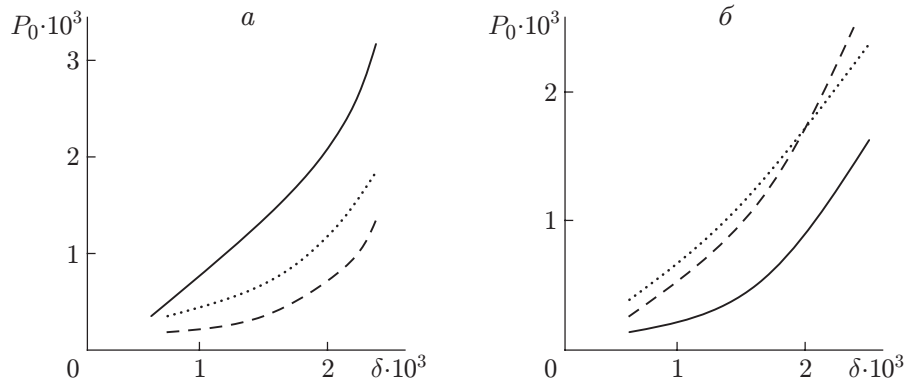


Рис. 2. Зависимость $P_0(\delta)$ для древесины (а) и гнейса влажного (б) при $\lambda = 2$, $\mu = 1,1$, $A = B = 10^{-3}$:

сплошные линии — задача 1, штриховые — задача 2, пунктирные — задача 3

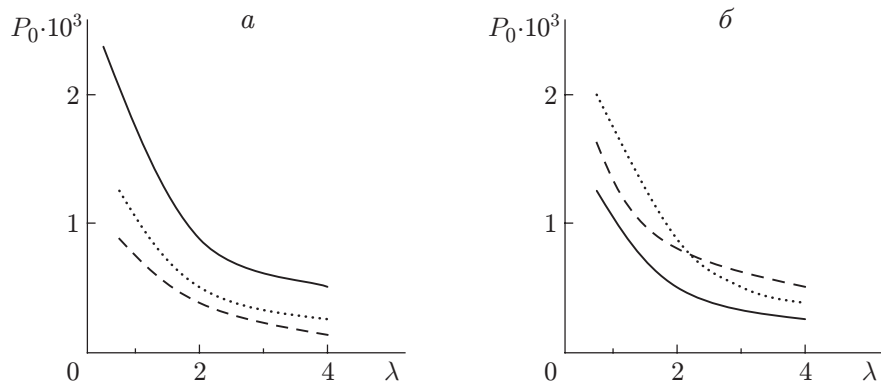


Рис. 3. Зависимость $P_0(\lambda)$ для древесины (а) и гнейса влажного (б) при $\mu = 1,1$, $\delta = A = B = 10^{-3}$:

сплошные линии — задача 1, штриховые — задача 2, пунктирные — задача 3

такое решение, нетрудно показать, что для точек, равноудаленных от начала координат, нормальные перемещения вдоль оси y могут быть меньше перемещений вдоль оси z (древесина ели), и наоборот (гнейс влажный). Этим объясняется пересечение кривых на рис. 3, б для задач 2, 3 при достаточно больших λ . Вдавливающая сила возрастает при увеличении осадки (см. рис. 2), а также при уменьшении λ вследствие увеличения влияния скользящей заделки нижней грани слоя (см. рис. 3). Как показывают расчеты, в относительно тонкий слой легче вдавить один штамп, чем цепочку, тогда как для внедрения периодической цепочки инденторов в относительно толстый слой требуется меньшая сила.

Для изучения перколяции (слияния) [13] областей контакта положим $\mu = 1$. При этом прямоугольники, содержащие области контакта, соприкасаются сторонами, в точках которых возможна перколяция при увеличении силы P или осадки δ . При $\mu = 1$ в ядрах (14)–(16) помимо классической интегрируемой особенности появляются новые интегрируемые особенности в точках возможной перколяции (на сторонах прямоугольника S , перпендикулярных оси цепочки штампов). Например, в задаче 1 помимо известной особенности $(x^2 + y^2)^{-1/2}$ возникают особенности вида $((2 \pm x)^2 + y^2)^{-1/2}$, $|x| \leq 2$, $|y| \leq 2\varepsilon$. В таблице приведены значения осадки и силы в начальный момент перколяции ($\mu = \varepsilon = 1$, $A = 5 \cdot 10^{-4}$, $B = 10^{-3}$). Из таблицы следует, что зависимость осадки δ от относительной толщины слоя λ является монотонной, в то время как зависимость $P_0(\lambda)$ имеет немонотонный характер вследствие наличия заделки нижней грани слоя.

Значения осадки и силы в начальный момент перколяции в задаче 1

λ	$\delta \cdot 10^3$		$P_0 \cdot 10^3$	
	Древесина (ель Дугласа)	Гнейс влажный	Древесина (ель Дугласа)	Гнейс влажный
1	0,7	0,8	0,724	0,520
2	0,9	1,2	0,617	0,602
3	1,1	1,4	0,629	0,589
4	1,2	1,6	0,591	0,609
5	1,3	1,8	0,580	0,641

Заключение. Полученные ИУ трехмерных периодических контактных задач для трансверсально-изотропного слоя являются обобщением как ИУ соответствующих трехмерных задач для одного штампа (предельный переход при $\mu \rightarrow \infty$), так и ИУ плоских задач (в случае области контакта Ω в виде полосы и плоского штампа). Форма областей контакта существенно зависит от ориентации плоскостей изотропии. Для достаточно близко расположенных штампов при увеличении контактного давления может возникнуть перколяция — просачивание областей контакта друг в друга и образование односвязной сплошной бесконечно длинной области контакта. Переход от дискретного контакта к непрерывному обусловлен образованием новых интегрируемых особенностей ядра ИУ в точках слияния областей контакта.

ЛИТЕРАТУРА

1. **Barber J. R.** Contact mechanics. Berlin: Springer, 2018.
2. **Ding H.** Elasticity of transversely isotropic materials / H. Ding, W. Chen, L. Zhang. Dordrecht: Springer, 2006.
3. **Pan E.** Static Green's functions in anisotropic media / E. Pan, W. Chen. N. Y.: Cambridge Univ. Press, 2015.
4. **Fabrikant V. I.** Contact and crack problems in linear elasticity. Sharjah: Bentham, 2010.
5. **Fabrikant V. I.** Non-traditional contact problem for transversely isotropic half-space // Quart. J. Mech. Appl. Math. 2011. V. 64, N 2. P. 151–170.
6. **Давтян Д. Б., Пожарский Д. А.** Действие полосового штампа на трансверсально-изотропное полупространство // Прикл. математика и механика. 2012. Т. 76, вып. 5. С. 783–794.
7. **Горячева И. Г., Торская Е. В.** Периодическая контактная задача для системы штампов и упругого слоя, сцепленного с упругим основанием // Трение и износ. 1995. Т. 16, № 4. С. 642–652.
8. **Горячева И. Г.** Периодическая контактная задача для упругого полупространства // Прикл. математика и механика. 1998. Т. 62, вып. 6. С. 1036–1044.
9. **Горячева И. Г.** Механика фрикционного взаимодействия. М.: Наука, 2001.
10. **Пожарский Д. А., Бедоидзе М. В., Пожарская Е. Д.** Периодические контактные задачи для слоя // Изв. вузов. Сев.-Кавк. регион. Естеств. науки. 2019. № 1. С. 30–32.
11. **Александров В. М.** Двойкопериодические контактные задачи для упругого слоя // Прикл. математика и механика. 2002. Т. 66, вып. 2. С. 307–315.
12. **Jin F., Wan Q., Guo X.** A double-Westergaard model for adhesive contact of a wavy surface // Intern. J. Solids Structures. 2016. V. 102/103. P. 66–76.

13. **Yastrebov V. A., Anciaux G., Molinari J.-F.** The contact of elastic regular wavy surfaces revisited // Tribol. Lett. 2014. V. 56. P. 171–183.
14. **Goryacheva I. G., Torskaya E. V.** Modeling of fatigue wear of a two-layered elastic half-space in contact with periodic system of indenters // Wear. 2010. V. 268, N 11/12. P. 1417–1422.
15. **Солдатенков И. А.** Периодическая контактная задача теории упругости. Учет трения, износа и сцепления // Прикл. математика и механика. 2013. Т. 77, вып. 2. С. 337–351.
16. **Горячева И. Г., Яковенко А. А.** Внедрение в тонкий вязкоупругий слой жесткого цилиндра с плоским шероховатым основанием // ПМТФ. 2021. Т. 62, № 5. С. 22–37.
17. **Пожарский Д. А.** Периодические контактные и смешанные задачи теории упругости (обзор) // Изв. вузов. Сев.-Кавк. регион. Естеств. науки. 2021. № 2. С. 22–33.
18. **Alexandrov V. M.** Three-dimensional contact problems / V. M. Alexandrov, D. A. Pozharskii. Dordrecht: Kluwer, 2001.
19. **Галанов Б. А.** Метод граничных уравнений типа Гаммерштейна для контактных задач теории упругости в случае неизвестных областей контакта // Прикл. математика и механика. 1985. Т. 49, вып. 5. С. 827–835.
20. **Гельфанд И. М.** Обобщенные функции и действия над ними / И. М. Гельфанд, Г. Е. Шиллов. М.: Физматгиз, 1959.
21. **Прудников А. П.** Интегралы и ряды. Элементарные функции / А. П. Прудников, Ю. А. Брычков, О. И. Маричев. М.: Наука, 1981.
22. **Прудников А. П.** Интегралы и ряды. Специальные функции / А. П. Прудников, Ю. А. Брычков, О. И. Маричев. М.: Наука, 1983.

*Поступила в редакцию 1/II 2022 г.,
после доработки — 12/V 2022 г.
Принята к публикации 26/V 2022 г.*
